



## مطالعه اثرات فرآیند نورد در کانال‌های زاویه‌دار همسان بر رفتار خوردگی مس خالص تجاری

محمد هنرپیشه<sup>۱\*</sup>, هادی منصوری<sup>۲</sup>, سعید ساکی انتظامی<sup>۳</sup>

۱- استادیار، مهندسی مکانیک، دانشگاه کاشان، کاشان

۲- فارغ التحصیل کارشناسی ارشد، مهندسی مکانیک، دانشگاه آزاد اسلامی واحد جاسب، دلیجان

۳- فارغ التحصیل کارشناسی ارشد، مهندسی مکانیک، باشگاه پژوهشگران جوان، دانشگاه آزاد اسلامی واحد خرم‌آباد، خرم‌آباد

\*کاشان، صندوق پستی ۸۷۳۱۷۵۱۱۶۷ honarpishe@kashanu.ac.ir

### چکیده

فرآیند نورد در کانال‌های هم مقطع زاویه دار یکی از جدیدترین روش‌های تغییر شکل پلاستیک شدید می‌باشد که موجب تغییر خواص مکانیکی و فیزیکی ورق‌های فلزی می‌شود. در این مقاله به بررسی اثرات فرآیند نورد در کانال‌های زاویه‌دار بر رفتار خوردگی مس خالص تجاری شده پرداخته شده است. برای این منظور، عملیات ایکر در پنج پاس به انجام رسید. همچنین جهت بررسی ترخ خوردگی نمونه‌های تا پنج پاس ایکر شده از جنس مس خالص تجاری، روش‌های امپدانس الکتروشیمیایی و پلاریزاسیون مورد مطالعه قرار گرفتند. نتایج حاکی از تأثیر مخرب فرآیند، بر مقاومت در برابر خوردگی نمونه‌ها می‌باشد. نتایج میکروسکوپ الکترونی رویشی نشان داد که با افزایش تعداد پاس خوردگی سطحی افزایش یافته و در پاس‌های بالا خوردگی حفراهای به وضوح قابل رویت می‌باشد. همچنین با افزایش تعداد پاس خوردگی به صورت یکنواخت دیده می‌شود و از حالت موضعی خارج شده است. بهطور کلی از پاس اول به پاس دوم میزان خوردگی بیشتر بوده و قطر و عمق حفرات ناشی از خوردگی بیشتر و به تعداد بیشتر مشاهده می‌گردد. در نمونه سه پاس ایکر شده میزان خوردگی افزایش یافته و نوع خوردگی ترکیبی از خوردگی یکنواخت و خوردگی حفراهای می‌باشد.

### اطلاعات مقاله

مقاله پژوهشی کامل

دریافت: ۲۰ خرداد ۱۳۹۶

پذیرش: ۱۱ شهریور ۱۳۹۶

ارائه در سایت: ۰۷ مهر ۱۳۹۶

کلید واژگان:

Riftar خوردگی

پلاریزاسیون

نورد در کانال زاویه‌دار همسان

## Investigation of ECAR process on the corrosion behavior of pure commercial copper

Mohammad Honarpisheh<sup>۱\*</sup>, Hadi Mansouri<sup>۲</sup>, Saeed Saki Entezami<sup>۳</sup>

۱-Faculty of Mechanical Engineering, University of Kashan, Kashan, Iran

۲-Department of Mechanics, Jasz Branch Islamic Azad University, Delijan, Iran

۳-Young Researchers and Elite Club, Khorramabad Branch Islamic Azad University, Khorramabad, Iran

\*P.O.B. 8731751167, Kashan, Iran, honarpishe@kashanu.ac.ir

### ARTICLE INFORMATION

Original Research Paper

Received 10 June 2017

Accepted 02 September 2017

Available Online 29 September 2017

**Keywords:**

Corrosion behavior

Polarization

Equal channel angular rolling

### ABSTRACT

Equal channel angular rolling process (ECAR) is one of the newest processes in the severe plastic deformation methods (SPD) that changes the mechanical properties of the sheet metal. In this study, the effects of ECAR process have been investigated on the corrosion behavior of the pure commercial copper samples. Five routs have been applied on the samples to investigate the mentioned parameters. Also, the corrosion rates were examined by the polarization and electrochemical impedance methods. The results show that the process has destructive effect on corrosion resistance of the samples. The results from SEM examination indicate that, with increasing the number of passes, the surface corrosion increases too and with increasing the passes pitting corrosion is clearly visible. Although with increasing the number of passes the uniformity of corrosion can be seen and positional mode is exited. Generally, the corrosion increases from the first pass to the second pass. Also, more diameter and depth of corrosion is observed with increasing the pass number. The corrosion increase at the third pass and the corrosion type is pitting corrosion and uniform corrosion in the sample.

این فلزات دارای اهمیت می‌باشد. پدیده خوردگی یکی از عوامل مهم در تخریب مواد است که در واقع واستگی زیادی به خواص مواد دارد [۲]. فرآیند نورد در کانال‌های زاویه‌دار همسان<sup>۱</sup> یکی از جدیدترین روش‌هایی است که جهت اصلاح و پالایش ساختار مواد فلزی بکار برده می‌شود. این فرآیند که بر

فلزاتی همچون آهن، آلومینیوم، مس، منیزیم و... به دلیل دارا بودن خصوصیات فیزیکی و مکانیکی بالا مانند استحکام و سختی در سیاری از سازه‌های صنعتی از جمله سازه‌های دریابی، هواپیما سازی، نیروگاه‌ها و... مورد استفاده قرار می‌گیرند [۱]. به همین علت مقاومت در برابر خوردگی در

<sup>۱</sup> ECAR

Please cite this article using:

M. Honarpisheh, H. Mansouri, S. Saki Entezami, Investigation of ECAR process on the corrosion behavior of pure commercial copper, *Modares Mechanical Engineering*, Vol. 17, No. 10, pp. 39-46, 2017 (in Persian)

برای ارجاع به این مقاله از عبارت ذیل استفاده نمایید:

خالص را مورد تحقیق قرار دادند و به این نتیجه رسیدند که آلمینیوم خالص صنعتی با دانه‌بندی ریز، پتانسیل حفره‌ای شدن بیشتر، تراکم جریان خودگی کمتر و غشاء مقاومتی ۵ برابر بزرگتر از آلمینیوم با دانه‌بندی درشت دارد. در سال 2011 سانگ و همکارانش [10] بهبود مقاومت در برایر خودگی حفره‌ای در آلیاژ Al-Cu، ایکپ شده را در محلول خورنده کلرید سدیم مطالعه کردند و دریافتند که فرایند شکل دهی شدید در نمونه‌های ریز دانه مقاومت به خودگی حفره‌ای را بهبود می‌بخشد. در همان سال رالستون و همکارانش [11] تأثیر اندازه دانه را بر رفتار خودگی آلمینیوم ایکپ شده را مورد تحلیل قرار دادند و نتیجه آنها حاکی از آن بود که با افزایش اندازه دانه نرخ خودگی تمایل به کاهش دارد و به نظر نمی‌رسد که با تغییر اندازه دانه و مسیر عملیات، پتانسیل حفره‌ای شدن زیاد تغییر کند. در سال 2012 شریف و همکارانش [12] رفتار خودگی آلمینیوم 1050 ایکپ شده را مطالعه کردند و فهمیدند که پس از فرایند ایکپ مقدار خودگی کاهش می‌یابد و مقاومت در برایر خودگی حفره‌ای افزایش می‌یابد. در سال 2013 آرگد و همکارانش [13] رفتار خودگی آسیاژ فوق ریز دانه Al-Mg-Sc را مورد بررسی قرار دادند و به این نتیجه رسیدند که فرآیند اصطکاک جنبشی روش موثری برای بهبود مقاومت به خودگی است. در همان سال نیکفام و همکارانش [14] دریافتند که مقاومت به خودگی در مرحله اول کاهش و در مراحل بعد افزایش پیدا می‌کند و علت آن ریز دانه شدن نمونه بعد از مرحله چهارم می‌باشد. در سال 2015 هنریشیه و همکارانش خواص مکانیکی و متالوژیکی ورق دو لایه AL/CU تولید شده به وسیله فرآیند ایکر را مورد بررسی قرار دادند و دریافتند که بعد از مرحله اول استحکام کششی و تسلیم افزایش چشمگیری می‌یابد ولی از دیدار طول کاهش پیدا می‌کند همچنین دریافتند که تغییر شکل برشی باعث افزایش زاویه مزدaneها و کاهش اندازه دانه ها می‌شود [15]. وی و همکارانش در همان سال تأثیر فرآیند بر روی هدایت حرارتی آلمینیوم 3003 در دو مسیر A و C طی ۵ پاس را بررسی کردند که دریافتند هدایت الکتریکی نمونه‌ها تا یک مرحله مشخصی افزایش پیدا می‌کند و استحکام تسلیم و نهایی نمونه افزایش چشمگیری می‌یابد [16]. در سال 2016 ساکی انتظامی و همکارش تأثیر فرآیند ایکر بر تغییرات سختی در آلیاژهای آلمینیوم 5052 و 7075 را مورد بررسی و مطالعه قرار دادند و دریافتند سختی سطحی و سختی در امتداد ضخامت آلیاژ نمونه به ترتیب ۶۳% و ۴۶% در مسیر A و ۵۱% و ۳۰% در مسیر C افزایش می‌یابد [17]. اگرچه تاکنون مطالعات بسیاری پیرامون تأثیر اعمال فرآیند ایکر بر روی مس خالص تجاري صورت پذیرفته است [18-20]، اما تأثیر این فرآیند بر مقاومت در برایر خودگی تاکنون گزارش نشده است. در این مقاله به بررسی تأثیر اعمال فرآیند ایکر بر مقاومت در برایر خودگی ورق مس خالص تجاري در محیط ۰.۵٪ نمک سدیم کلراید<sup>۴</sup> پرداخته شده است.

## 2- مواد و روش‌ها

در فرآیند ایکر نمونه‌ها را می‌توان به دو روش اعمال فرآیند نمود. روش اول مسیر A می‌باشد و شیوه عملکرد به گونه‌ای است که پس از هر بار خروج قطعه از قالب دستگاه، مجدداً به همان شکل قبل وارد دستگاه می‌شود ولی در روش دوم که مسیر C نام دارد به منظور دست یافتن به کرنش ایده آلتر، مابین هر پاس نمونه‌ها پیش از ورود به دستگاه ۱۸۰ درجه حول محور طولی چرخانده می‌شوند. همچنین باید توجه داشت که طی فرآیند ایکر ابعاد نمونه‌ها پس از اعمال شکل دهی هیچگونه تغییری نمی‌کند. در این مطالعه

<sup>4</sup> NaCl

پایه‌ی فرآیند پرس در کانال‌های زاویه‌دار همسان<sup>۲</sup> می‌باشد، با اعمال کرنش بزرگی بروی ورق‌ها و نوارهای فلزی موجب تولید دانه‌بندی و خواص مطلوب در آن می‌شود [3]. محدودیت در اعمال فرآیند ایکپ به طور پیوسته و ناتوانی اعمال آن ببروی ورق‌های فلزی این فرآیند را در مقیاس آزمایشگاهی نگهداشته است که در جهت رفع محدودیت‌های آن، فرآیند ایکر از آن مشتق شد و به همین دلیل فرآیند ایکر دارای قابلیت‌های صنعتی شدن می‌باشد. به دلیل نوظهور بودن این فرآیند تاکنون مطالعات اندکی بر روی آن صورت پذیرفته است که به دفعات بالا خواص مکانیکی در آن‌ها بروزی شده است ولی جای خالی خودگی در مقالات ارائه شده به شدت احساس می‌شود. خواص مکانیکی مس ایکر شده در شکل (1) نشان داده شده است. همانطور که مشاهده می‌شود استحکام تسلیم و استحکام کششی پس از اعمال فرآیند ایکر افزایش می‌یابد که روند افزایش در استحکام تسلیم چشمگیرتر می‌باشد. این روند افزایشی از اولین پاس با افزایش تدریجی تا مرحله هفت‌تم ادامه می‌یابد در حالی که استحکام کششی تغییر زیادی را تجربه نمی‌کند. همچنین فرآیند ایکر موجب کاهش ازدیاد طول چشمگیری می‌شود [4]. در سال 2006 سون و همکارانش [5] مقاومت در برایر خودگی حفره‌ای را در آلمینیوم فوق ریز دانه شده توسط فرآیند ایکپ مورد مطالعه قرار دادند و دریافتند که فرآیند ایکپ مقاومت به خودگی حفره‌ای را بهبود می‌بخشد. در سال 2007 وی و همکارانش [6] خودگی را در آلیاژ Al-Mn تولید شده به وسیله فرآیند نورد تجمعی<sup>۳</sup> مورد مطالعه قرار دادند و نتایج نشان داد که مقدار و اندازه خودگی حفره‌ای در آلیاژ آلمینیوم دانه درشت در مقایسه با آلمینیوم ریزدانه کاهش یافت و پتانسیل خودگی در آلمینیوم ریزدانه بیشتر از آلمینیوم با دانه بندی درشت می‌باشد. در سال 2008 هوکاف و همکارانش [7] خواص مکانیکی و رفتار خودگی آلیاژ AA6082 ریز دانه شده به وسیله فرآیند ایکپ را مورد مطالعه قرار دادند و دریافتند که مقاومت به خودگی حفره‌ای نمونه پس از فرایند ایکپ افزایش می‌یابد. در سال 2009 منگ و همکارانش [8] خودگی حفره‌ای را در آلمینیوم خالص تجاري نانوکریستال شده را بررسی قرار دادند و متوجه شدند که پتانسیل خودگی نمونه آلمینیوم ریزدانه روند افزایشی داشته در حالی که تراکم جریان خودگی خودگی در مقایسه با آلمینیوم دانه درشت کاهش پیدا می‌کند. در همان سال دان و همکارانش [9] تأثیر فرایند ایکپ را بر رفتار خودگی آلمینیوم

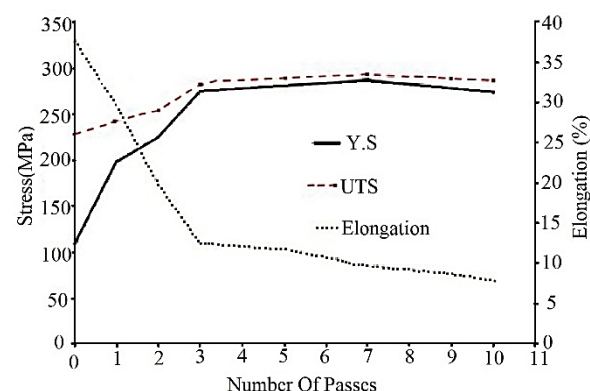


Fig. 1 Changes in tensile strength, yield strength and elongation in terms of the number of passes [4]

شکل ۱ تغییرات مقاومت کششی، استحکام تسلیم و درصد ازدیاد طول بر حسب تعداد پاس [4]

<sup>2</sup> ECAP  
<sup>3</sup> ARB

فعال است. همان‌طور که مشاهده می‌شود، دانسیته جریان خوردگی برای همه نمونه‌ها یکسان است. شبیه‌ناحیه آندی نیز، رفتار یکسانی را نشان می‌دهد. تنها تغییر در منحنی‌های پلاریزاسیون، شبیه‌ناحیه کاتدی است که با توجه به اینکه محیط اسیدی است و یون‌های خورنده  $\text{Cl}^-$  در محیط وجود دارد، بنابراین با کاهش شبیه‌ناحیه کاتدی، شدت آزاد شدن هیدروژن نیز بیشتر است.

"شکل 5" منحنی‌های نایکوپیست، باد- فاز و باد- زد از نمونه مسی در شرایط مختلف در محیط نمک طعام را نشان می‌دهد. به منظور تحلیل داده‌های حاصل از منحنی‌های نایکوپیست و شبیه‌سازی رفتار خوردگی، بایستی نتایج بدست آمده را با یک مدار الکترونیکی معادل، مطابقت داد. مدار معادل برای نمونه‌های تحت بررسی، در "شکل 6" نشان داده شده است. همچنین پارامترهای الکتروشیمیایی بدست آمده ناشی از آزمون امپدانس (6) مقاومت الکتروولیت ( $R_s$ ) و طرفیت خازن (CPE) می‌باشند که CPE از

$$\text{Rابطه (1)} \quad \text{CPE} = P \times (j\omega)^n$$

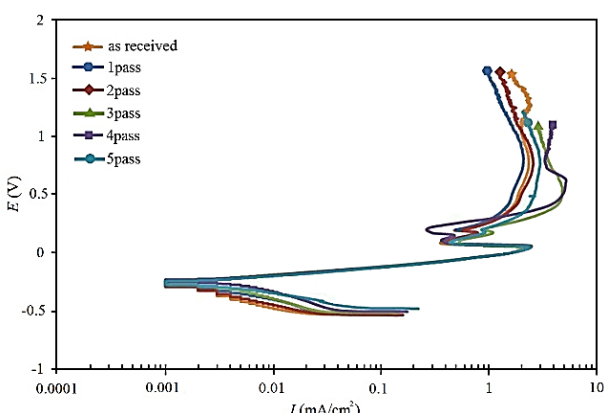
در رابطه بالا  $P$  به خاصیت خازنی و  $n$  به مورفولوژی سطح مربوط می‌شود. جهت تعیین خاصیت خازنی لایه دوگانه و همچنین لایه اکسیدی سطح از رابطه (2) کمک گرفته شده است [21].

$$C = (F \times (R_p)^{1-n})^{\frac{1}{2}} \quad (2)$$

هرچه میزان مقاومت پلاریزاسیون افزایش یابد مقاومت به خوردگی نیز افزایش می‌یابد. مطابق با مدار معادل و پارامترهای الکتروشیمیایی بدست

جدول 1 پارامترهای الکتروشیمیایی از آزمون پلاریزاسیون تافل

پتانسیل (V)	دانسیته جریان خوردگی (A/cm <sup>2</sup> )	بتاب آندی (V)	بتاب کاتدی (V)	نمونه
-0.24	$9.474 \times 10^{-7}$	0.07	0.261	شاهد
-0.24	$9.476 \times 10^{-7}$	0.07	0.179	1 پاس
-0.24	$9.471 \times 10^{-7}$	0.07	0.227	2 پاس
-0.24	$9.473 \times 10^{-7}$	0.07	0.225	3 پاس
-0.24	$9.474 \times 10^{-7}$	0.07	0.143	4 پاس
-0.24	$9.472 \times 10^{-7}$	0.07	0.201	5 پاس



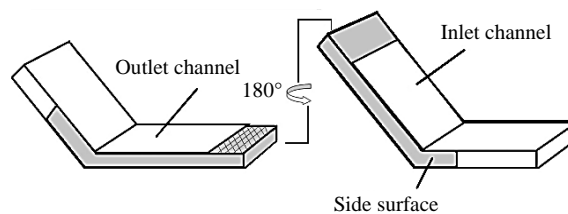
شکل 4 منحنی‌های پلاریزاسیون از نمونه مسی در شرایط مختلف در محلول خورنده از نمک طعام

پنج نمونه از جنس مس خالص تجاري با ابعاد  $30 \times 30 \times 400$  میلی‌متر در مسیر C تحت فرآیند ایکر قرار گرفت. "شکل 2" شماتیکی از مسیر C در فرآیند ایکر را نشان می‌دهد.

دستگاه مورد استفاده در این مطالعه متشكل از دو قسمت غلتک و قالب می‌باشد که در آن فاصله‌ی بین دهانه‌ی دو غلتک 2.97 mm، ضخامت ورودی و خروجی کanal برابر با 3 mm و زاویه قالب 120 درجه می‌باشد. دستگاه و نمونه‌های ایکر شده در "شکل 3" نشان داده شده است. پس از فرآیند ایکر، تست‌های خوردگی شامل پلاریزاسیون و امپدانس الکتروشیمیایی بر روی سطوح نمونه‌ها در محیط 0.5٪ ازنمک سدیم کلراید، انجام شد. به این منظور از دستگاه پتانسیواستات- گالوانوستات<sup>5</sup> ساخت کشور هلند همراه با نرم‌افزار اجرایی<sup>6</sup> جهت اندازه‌گیری‌های الکتروشیمیایی استفاده شد. بر طبق منحنی‌های تغییرات پتانسیل بر حسب جریان و سرعت خوردگی بر حسب زمان غوطه‌وری در محلول خورنده، پوشش‌های بدست آمده مورد ارزیابی قرار گرفت.

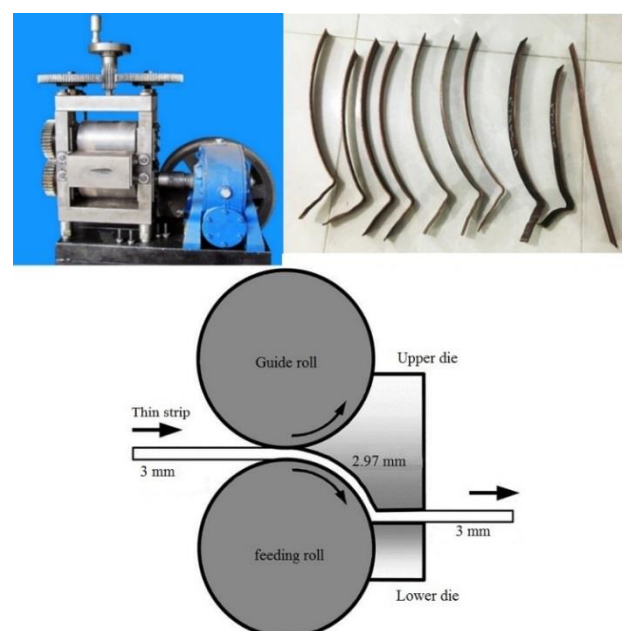
### 3- نتایج و بحث

منحنی پلاریزاسیون مس ایکر شده بر حسب تعداد پاس در "شکل 4" و نتایج بدست آمده از آزمون پلاریزاسیون در جدول (1) نشان داده شده است. رفتار فلز مس در محیط خورنده 0.5٪ ازنمک سدیم کلرایدیک رفتار



شکل 2 شماتیکی از مسیر C در فرآیند ایکر [4]

[4] نشان داده شده است.



شکل 3 دستگاه ایکر مورد استفاده در پژوهش و نمونه‌ها پس از اعمال فرآیند

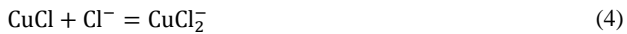
<sup>5</sup> IVIUMSTAT

<sup>6</sup> IVIUMSOFT

**جدول ۲** پارامترهای الکتروشیمیایی بدست آمده از آزمون امپدانس الکتروشیمیایی  
**Table. 2** Electrochemical parameters obtained from EIS examination

مقادیر	مقاومت خازن لایه دوگانه	مقاومت انتقال بار	مقاومت خازن مربوط به نفوذ (فراز)	نفوذ	نمونه
(Ω)	(فراز)	(Ω)	(فراز)	(Ω)	
47	$2.67 \times 10^{-5}$	5492	$2 \times 10^{-4}$	19317	شاهد
47	$3.58 \times 10^{-4}$	4892	$1.4 \times 10^{-4}$	13550	1 پاس
40	$5.5 \times 10^{-4}$	4345	$2.14 \times 10^{-3}$	8461	2 پاس
46	$7.56 \times 10^{-4}$	3015	$2.4 \times 10^{-3}$	7438	3 پاس
45	$8.6 \times 10^{-4}$	1850	$3.4 \times 10^{-3}$	6865	4 پاس
46	$1.1 \times 10^{-3}$	824	$6.4 \times 10^{-3}$	1942	5 پاس

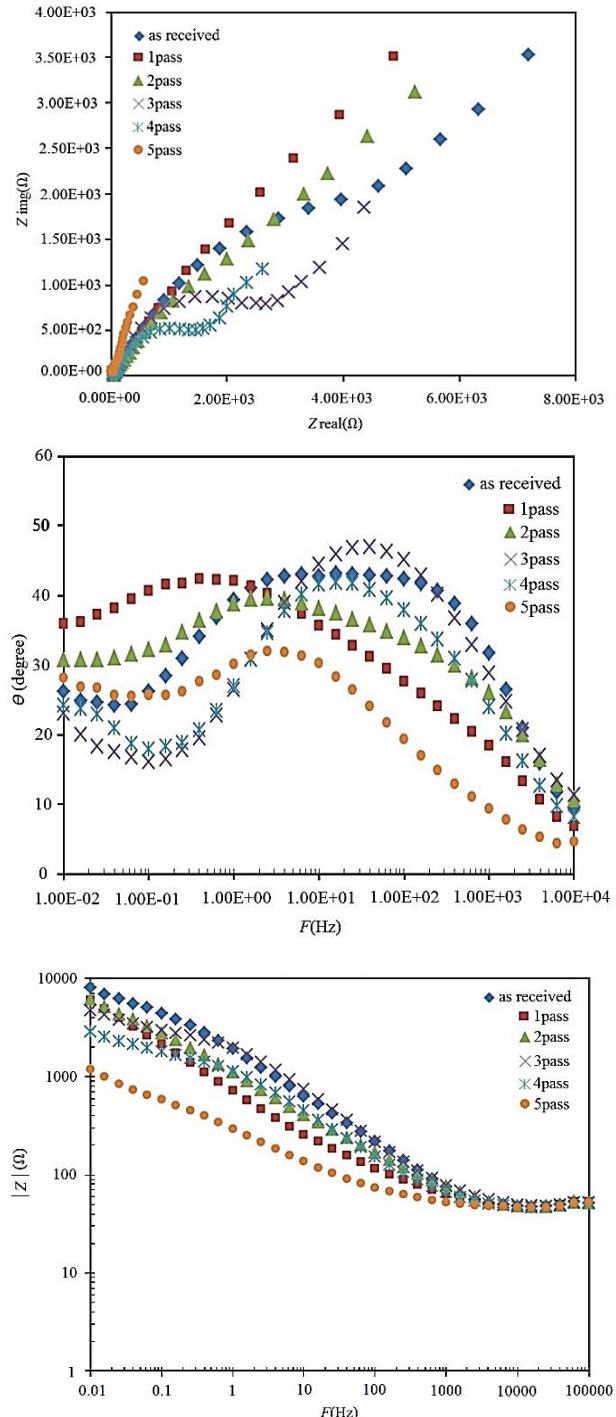
آمده، دو ثابت زمانی وجود دارد. ثابت زمانی اول مربوط به لایه دوگانه است که هرچه تعداد پاس‌ها بالاتر رفته مقاومت به خودگی کاهش می‌یابد، زیرا مقدار خازن افزایش و مقاومت انتقال بار کاهش یافته است. ثابت زمانی دوم مربوط به نفوذ یون خورنده کل است که هر چه این مقاومت بیشتر باشد مقاومت در برابر نفوذ کلید بیشتر است و مشاهده می‌شود که با افزایش تعداد پاس‌ها مقاومت به نفوذ کاهش یافته است. در واقع کاهش جریان در شاخه آندی به دلیل تشکیل فیلم در سطح مس می‌باشد. این فیلم توسط واکنش‌های اتحال آندی مس در منطقه فعال نمودار، به وجود می‌آید که این واکنش‌ها را می‌توان بصورت روابط (3) و (4) بیان کرد. همچنین واکنش کاتدی نیز در حالت (5) رخ می‌دهد [22]. فیلمی که در این حالت بوجود آمده، غیر محلول و با رسوب کردن بر سطح مس، سبب افزایش پتانسیل سطح به مقادیر مثبت‌تر می‌شود.



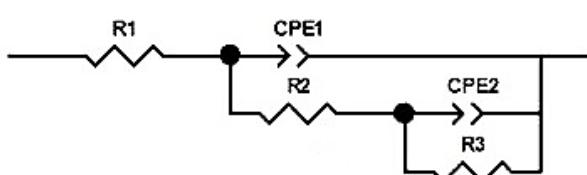
تصاویر میکروسکوپ الکترونی رویشی برای نمونه‌های شاهد و ایکر شده در "اشکال 7 تا 9" نشان داده شده است. به طور کلی مشاهده می‌گردد میزان خودگی سطحی با افزایش تعداد پاس افزایش یافته است. همچنین مشاهده می‌شود که خودگی حفره‌ای در بعضی از مناطق در پاس‌های بالا به وضوح قابل رویت می‌باشد. در نمونه شاهد "شکل 7" خودگی به صورت یکنواخت بوده و اثرباری از پیتینگ مشاهده نمی‌شود.

با اعمال فرآیند در پاس اول ملاحظه می‌گردد که تمام سطح نمونه دچار خودگی نشده است و خودگی به صورت موضعی بوده و به احتمال زیاد خودگی از مناطق پر انرژی مانند مرز دانه‌ها شروع شده است. همچنین خودگی به صورت پیتینگ نیز در این نمونه مشاهده می‌گردد که با علامت A در "شکل 8" نشان داده شده است. زمانی که ناحیه‌های موضعی یک ماده در معرض حمله سریع باشد، خودگی به صورت پیتینگ اتفاق می‌افتد هر چند که سطح وسیعی از ماده بی‌تأثیر باقی می‌ماند [23].

همان‌طور که در "شکل 9" مشاهده می‌شود، از پاس اول به پاس دوم میزان خودگی بیشتر بوده اما قطر و عمق حفرات ناشی از خودگی بیشتر و به تعداد بیشتر مشاهده می‌گردد. در نمونه سه پاس ایکر شده میزان خودگی افزایش یافته و نوع خودگی ترکیبی از خودگی یکنواخت و خودگی حفره‌ای می‌باشد. همچنین تشکیل اولیه فیلم‌های لایه محافظ از جنس مس کلراید مشاهده می‌گردد. در پاس چهارم حجم خودگی به روند افزایشی خود ادامه داده و تشکیل لایه خودگی در بیشتر مناطق مشاهده می‌گردد که به دلیل تنش بسیار زیاد در نمونه در اثر اعمال فرآیند مناطقی که دچار حمله خودگی شده به شدت افزایش یافته است. پاس پنجم در این نمونه خودگی



**شکل ۵** منحنی‌های نایکوپیست، باد - فاز و باد - زد از نمونه‌های مسی در شرایط مختلف در محیط خورنده نمک طعام



**شکل ۶** مدار معادل نمونه‌های پوشش داده شده پس از آزمون امپدانس

گفت اعمال کرنش پلاستیک شدید در حین فرآیند ایکر و در پی آن ریز دانه شدن و افزایش چگالی نابجایی‌ها موجب افزایش سطح انرژی آلیاژ شده که از عمدۀ ترین عامل کاهش مقاومت در برابر خوردگی این آلیاژ محسوب می‌شود. زیرا این مناطق پر انرژی، تمایل به جذب بیشتر یون  $\text{Cl}^-$  دارند و خوردگی در آن مناطق شروع می‌شود [6].

این مطلب که کار مکانیکی اثر محربی بر مقاومت در برابر خوردگی مواد دارند در مراجع [28,27] نیز گزارش شده است. هر چند که این موضوع را نمی‌توان قانونی کلی دانست زیرا در بعضی از مواد که قابلیت تشکیل لایه پسیو را به صورت فعال داشته گزارش گردیده که این افزایش انرژی سطحی باعث افزایش سرعت تشکیل این لایه شده و در نتیجه مقاومت به خوردگی افزایش می‌یابد [10-8].

نکته قابل توجه دیگر این که همان‌طور که پیش‌تر اشاره شد، مشاهده می‌شود با افزایش تعداد پاس به علت آنکه تغییرات بر روی سطح به صورت یکنواخت اعمال شده به همین دلیل خوردگی به صورت یکنواخت دیده می‌شود و از حالت موضعی خارج شده است.

همچنین تصاویر میکروسکوپ الکترونی رویشی مربوط به سطح نمونه‌های ایکر شده قبل از خوردگی در "شکل 10" قابل مشاهده است. دلیل دیگری که برای توجیه کاهش مقاومت در برابر خوردگی این فلز می‌توان به آن اشاره کرد این است که تنش‌های پس ماند با تغییر در انرژی آزاد فلزاتی که تحت کار مکانیکی شدید قرار گرفته‌اند، در تماس با محیط خورنده موجب افزایش نرخ خوردگی در آن‌ها می‌شوند [29, 30]. مطابق با نتایج حاصل از مطالعه [33-31]، گزارش شده است که اعمال فرآیند ایکرموجب افزایش تنفس پسماند در نمونه می‌شود.

#### 4- جمع‌بندی

در این مطالعه مقاومت در برابر خوردگی ورق مس ایکرشده با استفاده از روش امپدانس الکتروشیمیایی مورد بحث و مطالعه قرار گرفت که در طی آن نتایج زیر حاصل شد:

- در اثر اعمال فرآیند دانه‌های درشت و کشیده شکسته شده و دانه‌های فرعی با چگالی نابجایی بالا تشکیل می‌شود. این امر موجب تشکیل شدن دانه‌های ریز و هم‌محورتری نسبت به ساختار اولیه می‌شود و چگالی نابجایی در داخل و مرز دانه‌های اولیه افزایش می‌یابد و با توجه به اینکه خوردگی در این مناطق آغاز می‌شود این امر موجب افزایش نرخ خوردگی می‌شود.
- تنش‌های پس ماند ایجاد شده در حین فرآیند با تغییر در انرژی آزاد فلز در تماس با محیط خورنده موجب افزایش نرخ خوردگی در آن‌ها می‌شود.
- در بعضی از مواد که قابلیت تشکیل لایه پسیو را به صورت فعال داشته این افزایش انرژی سطحی باعث افزایش سرعت تشکیل این لایه شده و در نتیجه مقاومت به خوردگی افزایش می‌یابد.
- میزان خوردگی سطحی با افزایش تعداد پاس افزایش می‌یابد. همچنین خوردگی حفره‌ای در بعضی از مناطق در پاس‌های بالا تشکیل شده است.
- با افزایش تعداد پاس به علت آنکه تغییرات بر روی سطح به صورت یکنواخت اعمال شده به همین دلیل خوردگی به صورت یکنواخت دیده می‌شود و از حالت موضعی خارج شده است.

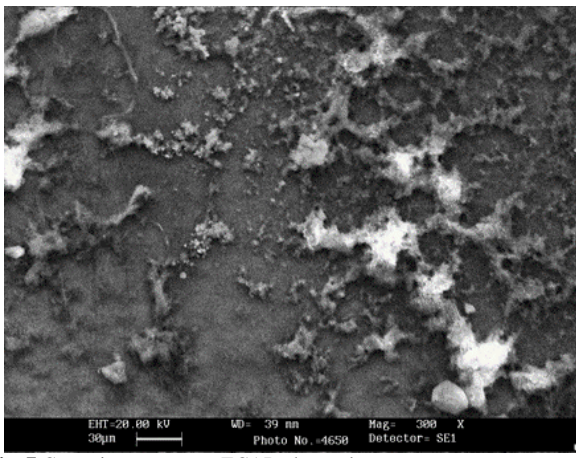
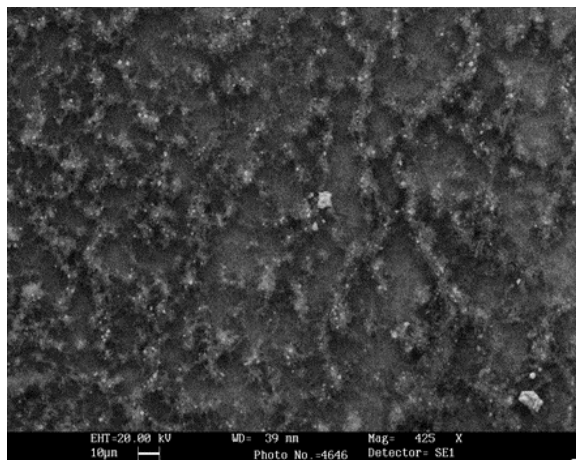
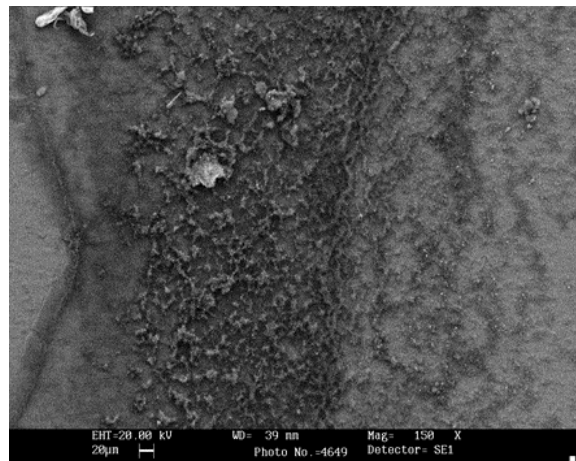


Fig. 7 Corrosion area on unECARed samples

شکل 7 سطح خوردگی نمونه شاهد

یکنواخت و تشکیل فیلم خوردگی به وضوح قابل رویت بوده که برخی از مناطق خوردگی حفره‌ای با عمق بالا در نمونه‌ها اتفاق افتاده که نشانگر مقاومت پایین نمونه در برابر خوردگی در محلول می‌باشد. این کاهش مقاومت در برابر خوردگی را می‌توان به ریز دانگی نمونه در اثر اعمال فرآیند نسبت داد. در مطالعات گزارش شده است که فرآیند ایکر موجب کاهش اندازه دانه در مس [18, 5] و همچنین فلزات دیگر [24-26] می‌شود. به طور کلی مواد ریز دانه به دلیل وجود چگالی بالای عیوب در مقایسه با مواد درشت دانه مقاومت به خوردگی پایین‌تری دارند [6]. در واقع می‌توان

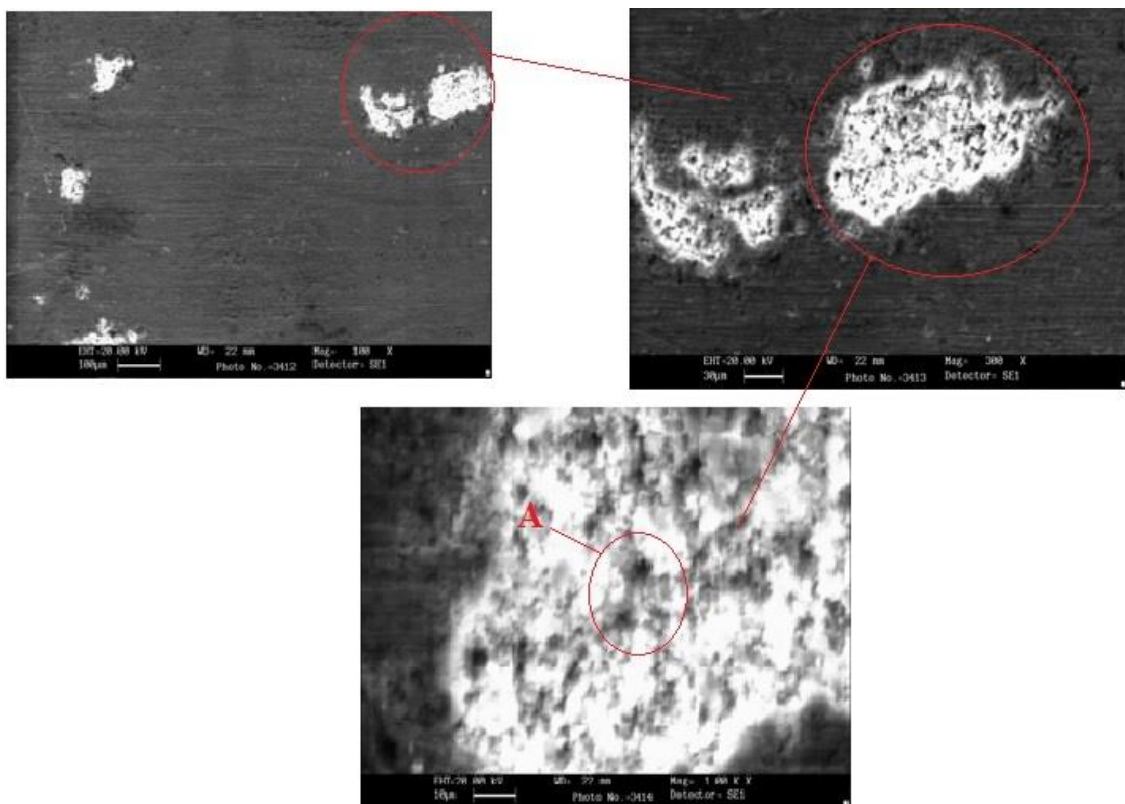


Fig. 8 Corrosion area on 1 pass ECARed samples

شکل 8 خوردگی نمونه‌های مسی یک پاس ایکر شده

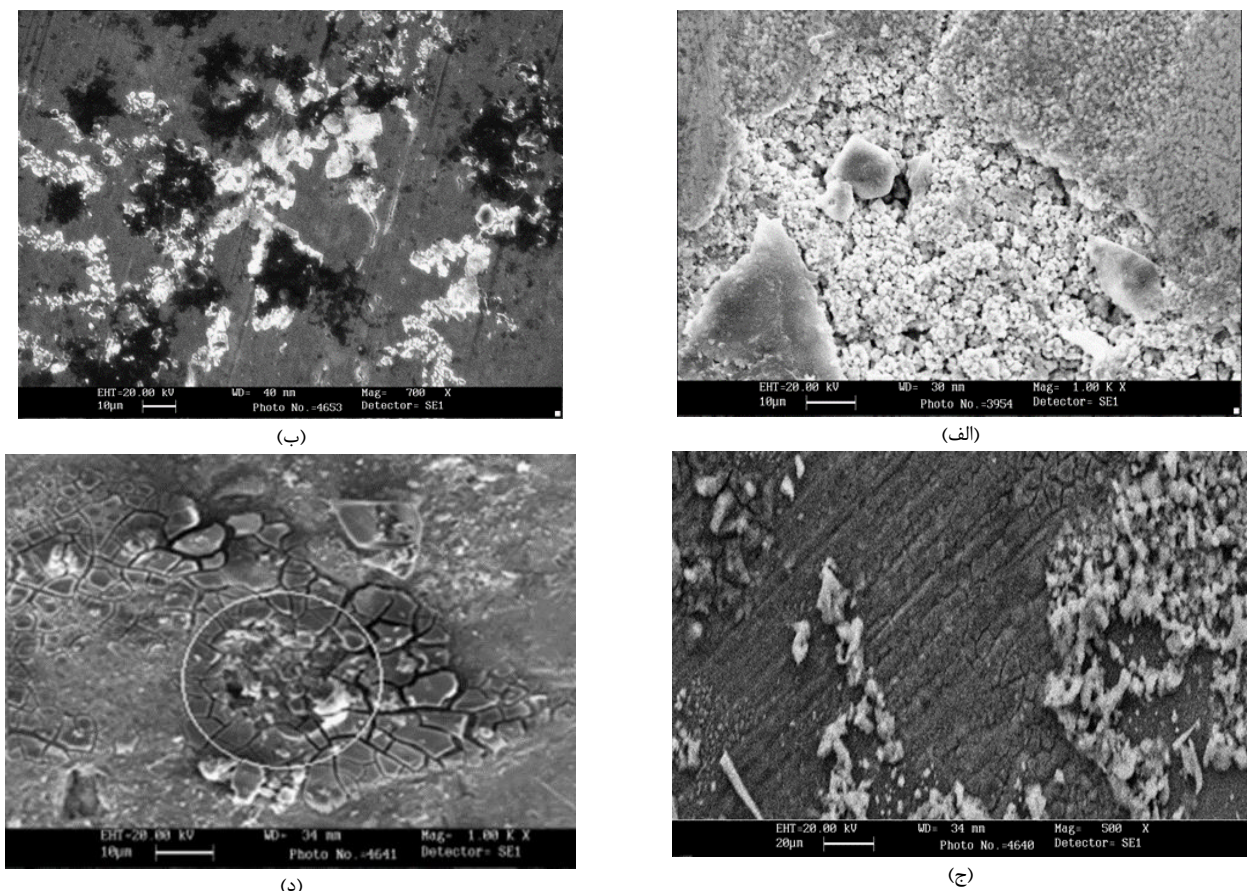
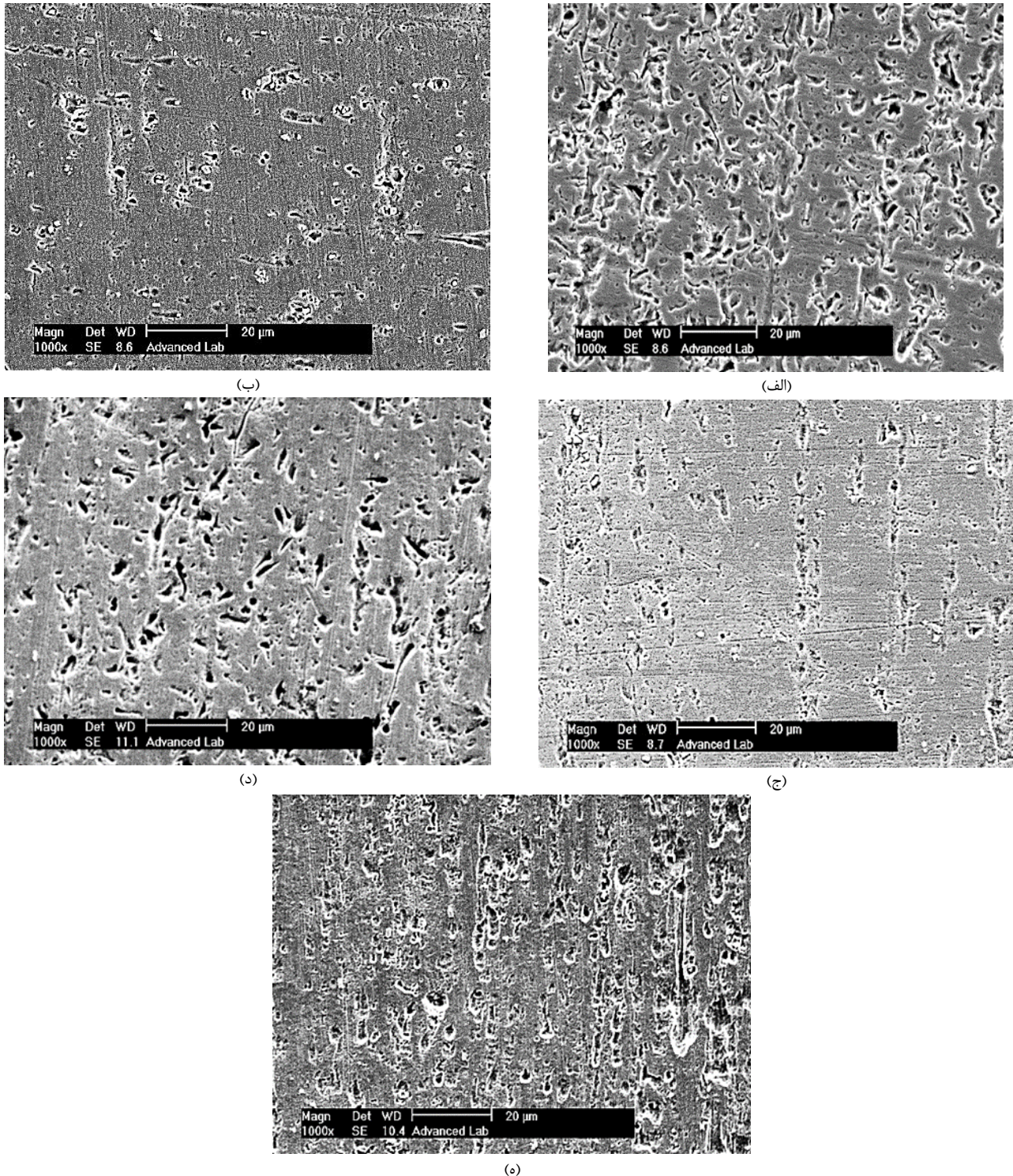


Fig. 9 Corrosion area on ECARed copper samples a) 2 pass ECARed sample b) 3 pass ECARed sample c) 4 pass ECARed sample d) 5 pass ECARed sample

شکل 9 خوردگی نمونه‌های مسی ایکر شده (الف) نمونه دو پاس ایکر شده، ب) نمونه سه پاس ایکر شده، ج) نمونه چهار پاس ایکر شده و د) نمونه پنج پاس ایکر شده



**Fig. 10** The SEM graphs of ECARed copper samples a) unECARed samples b) 1 pass ECARed sample c) 2 pass ECARed sample d) 3 pass ECARed sample e) 4 pass ECARed sample

شکل ۱۰ تصاویر میکروسکوپ الکترونی رویشی از سطح نمونه‌ها (الف) نمونه یک پاس ایکر شده (ب) نمونه دو پاس ایکر شده، (ج) نمونه سه پاس ایکر شده، (د) نمونه چهار پاس ایکر شده

*International Journal of Advanced Design and Manufacturing Technology*, Vol. 5, No. 4, pp. 71-76, 2012.

- [4] A. Habibi, M. Katabchi, M. Eskandarzadeh, Nano-Grained pure copper with high-strength and high-conductivity produced by equal channel angular rolling process, *Journal of Materials Processing Technology*, Vol. 211, No. 6, pp. 1085-1090, 2011.
- [5] I. J. Son, H. Nakano, S. Oue, Sh. Kobayashi, H. Fukushima, Z. Horita, Pitting corrosion resistance of ultrafine-grained aluminum processed by severe plastic deformation, *Materials Transactions*, Vol. 47, No. 4, pp. 1163-1169, 2006.

## 5- منابع

- [1] D. Wang, G. P. Bierwagen, Sol-Gel coatings on metals for corrosion protection, *Progress in Organic Coatings*, Vol. 64, No. 4, pp. 327-338, 2009.
- [2] B. S. Broujeni, E. A. Kharaji, E. Akbari, Investigation of time effect in surface mechanical attrition treatment (SMAT) process on commercial pure copper behavior, *New Processes of Material Engineering*, Vol. 9, No. 4, pp. 63-73, 2016. (in Persian)
- [3] M. Sedighi, M. Mahmoodi, Experimental and numerical study of through thickness residual stresses distribution in sheet metals produced by ECAR,

- 661, 2017.
- [21] S. Adhami, M. Attarpour, A. Allafchian, Study of chloride ion concentration effect on the corrosion behavior of Alkoxy silane coating on copper substrate, *Corrosion Engineering Science*, Vol. 13, No. 3, pp. 7-15, 2015. (in Persian)
- [22] S. Matin, M. Pakshir, R. B. Lari, K. M. Behbahani, The study of effect of ARB process on the corrosion behavior of AL-nano ZrO<sub>2</sub> composite, *New Processes of Material Engineering*, Vol. 9, No. 1, pp. 87-94, 2015. (in Persian)
- [23] R. Baboian, *Corrosion Test and Standards: Application and Interpretation*, Second Edition, pp. 53-58, West Conshohocken, PA, ASTM International, 2005.
- [24] C. Y. Nam, J. H. Han, Y. H. Chung, M. C. Shin, Effect of precipitates on microstructural evolution of 7050 Al alloy sheet during equal channel angular rolling, *Materials Science and Engineering: A*, Vol. 347, No. 1, pp. 253-257, 2003.
- [25] Y. H. Chung, J. W. Park, K. H. Lee, An analysis of accumulated deformation in the equal channel angular rolling (ECAR) process, *Metals and Materials International*, Vol. 12, No. 4, pp. 289-292, 2006.
- [26] A. Azimi, S. Tutuncilar, G. Faraji, M. K. Besharati Givi, Mechanical properties and microstructural evolution during multi-pass ECAR of Al1100-O alloy, *Materials and Design*, Vol. 42, pp. 388-394, 2012.
- [27] M. Fadaie, M. Sharifi, Evaluation of pitting corrosion of AA5050 nanostructure aluminum alloy produced by ARB in Chloride environment, *Material Engineering*, Vol. 2, pp. 75-85, 2010. (in Persian)
- [28] M. R. Sanaeian, R. S. Gharabagh, R. Sobhanverdi, M. Asadiasadabad, An investigation of metallurgical factors effect on corrosion behavior of Zr-Nb alloy, *Corrosion Engineering Science*, Vol. 13, No. 3, pp. 71-77, 2015. (in Persian)
- [29] B. Davepon, J. W. Schultze, U. König, C. Rosenkranz, Crystallographic orientation of single grains of polycrystalline titanium and their influence on electrochemical processes, *Surface Coating Technology*, Vol. 169, pp. 85-90, 2003.
- [30] W. Li, D. Y. Li, Variation of work function and corrosion behaviors of deformed copper surfaces, *Applied Surface Science*, Vol. 240, No. 1, pp. 388-395, 2005.
- [31] M. Mahmoodi, M. sedighi, D. A. Tanner, Investigation of through thickness residual stress distribution in equal channel angular rolled Al 5083 alloy by layer removal technique and X-ray diffraction, *Materials and Design*, Vol. 40, pp. 516-520, 2012.
- [32] M. Kotobi, M. Honarpisheh, Uncertainty analysis of residual stresses measured by slitting method in equal-channel angular rolled Al-1060 strips, *The Journal of Strain Analysis for Engineering Design*, Vol. 52, No. 2, pp. 83-92, 2017.
- [33] M. Honarpisheh, E. Haghigat, M. Kotobi, Investigation of residual stress and mechanical properties of equal channel angular rolled St12 strips, *Proceedings of the Institution of Mechanical Engineers, Part L: Journal of Materials Design and Applications*, 10.1177/1464420716652436, 2016.
- [6] W. Wei, K. Xia Wei, Q. Bo Du, Corrosion and tensile behaviors of ultra-fine grained Al-Mn alloy produced by accumulative roll bonding, *Materials Science and Engineering*, A, 454, pp. 536-541, 2007.
- [7] M. Hockauf, L. W. Meyer, D. Nickel, G. Alisch, T. Lampke, B. Wielag, L. Krüger, Mechanical properties and corrosion behavior of ultrafine-grained AA6082 produced by equal-channel angular pressing, *Journal of Materials Science*, Vol. 43, No. 23, pp. 7409-7417, 2008.
- [8] G. Meng, L. Wei, T. Zhang, Y. Shao, F. Wang, Ch. Dong, X. Li, Effect of microcrystallization on pitting corrosion of pure aluminum, *Corrosion Science*, Vol. 51, No.9, pp. 2151-2157, 2009.
- [9] D. Song, J. H. Jiang, P. H. Lin, D. H. Yang, Corrosion behavior of ultra-fine grained industrial pure Al fabricated by ECAP, *Transactions of Nonferrous Metals Society of China*, Vol. 19, No. 5, pp. 1065- 1070, 2009.
- [10] D. Song, J. H. Jiang, P. H. Lin, D. H. Yang, Improvement of pitting corrosion resistance for Al-Cu alloy in sodium chloride solution through equal-channel angular pressing, *Progress in Natural Science: Materials International*, Vol. 21, No. 4, pp. 307- 313, 2011.
- [11] K. D. Ralston, D. Fabijanic, N. Birbilis, Effect of grain size on corrosion of high purity aluminium, *Electrochimica Acta*, Vol. 56, No. 4, pp. 1729-1736, 2011.
- [12] M. Sherif El-Sayed, A. El-Danaf Ehab, S. Soliman Mahmoud, A. Almajid Abdulhakim, Corrosion passivation in natural seawater of aluminum alloy 1050 processed by equal-channel-angular-press, *International Journal of Electrochemical Science*, Vol. 7, pp. 2846 - 2859, 2012.
- [13] G. R. Argade, N. Kumar, R. S. Mishra, Stress corrosion cracking susceptibility of ultrafine grained Al-Mg-Sc alloy, *Materials Science & Engineering*, A, 565, pp. 80-89, 2013.
- [14] A. Nikfahma, I. Danaee, A. Ashrafi, M. R. Toroghinejad, Effect of grain size changes on corrosion behavior of copper produced by accumulative roll bonding process, *Materials Research*, Vol. 16, No. 6, pp. 1379-1386, 2013.
- [15] M. Honarpisheh, M. Dehghani, E. Haghigat, Investigation of mechanical properties of al/cu strip produced by equal channel angular rolling, *Procedia Materials Science*, Vol. 11, pp. 1-5, 2015.
- [16] M. Honarpisheh, M. R. Aghili, M. Kotobi, Experimental investigation of thermal conductivity of aluminum alloy 3003 produced by equal channel angular rolling process, *Journal of Modern Processes in Manufacturing and Production*, Vol. 4, No. 4, 2015.
- [17] S. Saki Entezami, M. Honarpisheh, A study on the hardness of 7075 and 5052 aluminum alloys in the equal channel angular rolling process, *Bulletin de la Société Royale des Sciences de Liège*, Vol. 85, pp. 879 - 889, 2016.
- [18] T. Kvackaj, A. Kovacova, M. Kvackaj, R. Kocisko, L. Litynska-Dobrzynska, V. Stoykac, M. Mihalikova, TEM studies of structure in OFHC copper processed by equal channel angular rolling, *Micron*, Vol. 43, No. 6, pp. 720-724, 2012.
- [19] A. Habibi, A. Katabchi, Enhanced properties of nano-grained pure copper by equal channel angular rolling and post-annealing, *Materials and Design*, Vol. 34, pp. 483-487, 2012.
- [20] A. Habibi, A. Katabchi, M. Eskandarzadeh, Fatigue behavior of nano-grained pure copper processed by equal channel angular rolling, *International Journal of Science and Technology*, Vol. 24, No. 2, pp. 656-